

小白菊内酯对白血病K562细胞及其干细胞的作用

易娟¹, 陈静¹, 孙静¹, 魏虎来^{1*}, 石建功²

(1. 兰州大学基础医学院 医学实验中心 甘肃省新药临床前研究重点实验室, 甘肃 兰州 730000;
2. 北京协和医学院 中草药物质基础与资源利用教育部重点实验室, 北京 100005)

[摘要] 目的: 研究小白菊内酯(parthenolide, PTL)对白血病K562细胞及其白血病干细胞(leukemia stem cells, LSC)的作用。方法: 以白血病K562细胞为靶细胞, 四氮唑蓝(MTT)比色法测定细胞增殖活性, Annexin V/PI染色法测定细胞凋亡; 流式细胞术检测LSC相对含量, 甲基纤维素集落形成法检测细胞的自我更新和增殖能力。结果: PTL显著抑制K562细胞的增殖, 24, 48, 72 h的IC₅₀分别为17.1, 8.67, 9.42 μmol·L⁻¹。5, 10 μmol·L⁻¹PTL处理48 h, K562细胞的凋亡率分别为(49.56±5.11)%, (71.88±2.12)%; 结合干细胞免疫标志分析, K562细胞中LSC样(CD34⁺CD38⁻)细胞的凋亡率分别为(52.63±4.14)%, (57.50±4.47)%; K562细胞中LSC的相对含量仅轻度增高, 但高浓度(15 μmol·L⁻¹)PTL处理, LSC含量则增高15倍。0.5~4.0 μmol·L⁻¹PTL显著抑制K562细胞的集落形成能力, 集落数降低24.1%~89.2%; 5~15 μmol·L⁻¹PTL预处理, 存活K562细胞的集落形成数增高5.0%~50.0%。结论: 小白菊内酯可抑制K562细胞及其干细胞的增殖活性, 并诱导其凋亡。

[关键词] 白血病干细胞; 小白菊内酯; 集落形成; 凋亡

白血病干细胞(leukemia stem cells, LSC)起源于正常造血干细胞或由处在某个分化阶段的造血细胞转化而来, 其特异性免疫标志为CD34⁺CD38⁻CD123⁺; LSC具有自我更新能力和无限增殖能力, 且天然对抗癌药物和放射线耐受, 有很强的生存优势, 能在化疗和放疗后生存下来而成为复发的根源^[1-3]。小白菊内酯(parthenolide, PTL)是植物药野甘菊的主要活性成分, 属于倍半萜烯内酯化合物, 近来研究发现小白菊内酯具有较强的抗肿瘤活性, 可诱导结肠癌、肝癌、多发性骨髓瘤、白血病等肿瘤细胞凋亡, 并对其他抗癌药物具有增敏效应^[4-5]。本研究观察PTL对白血病K562细胞及其LSC的杀伤效应。

1 材料与方法

1.1 试剂与仪器 小白菊内酯(BIOMOL公司); RPMI 1640(美国Gibco公司); 新生小牛血清(兰州

荣晔生物科技有限责任公司); 甲基纤维素(4000CPS, 美国AMRESCO公司); PEcy5标记的鼠抗人CD34抗体、FITC标记的鼠抗人CD38抗体、ECD标记的鼠抗人CD38抗体均购自Caltag公司; PE标记的鼠抗人CD123抗体购自eBioscience公司; PE标记的鼠抗人IgG1, ECD标记的鼠抗人IgG1, FITC标记的鼠抗人IgG1和PEcy5标记的鼠抗人IgG1为Caltag公司产品; Annexin V/PI凋亡检测试剂盒购自eBioscience公司。自动酶标仪(Bio-Tek Power wave X); 流式细胞仪(FCM, Beckman-Coulter Epics XL), 倒置显微镜(Olympus IX81)。

1.2 靶细胞和细胞培养 K562细胞由兰州大学医学实验中心保存。细胞接种于含15%新生牛血清的RPMI 1640培养液中, 置37℃, 5%CO₂和全湿条件下培养, 取对数生长期细胞用于试验。

1.3 K562细胞增殖活性的测定 K562细胞(1×10^5 个/mL)接种于96孔培养板中, 加入不同浓度的PTL, 培养24, 48, 72 h后MTT法^[6]检测。自动酶标仪于570 nm处测吸光度A值, 计算细胞增殖抑制率(inhibition rate)和半数抑制浓度(IC₅₀)。

1.4 Annexin V/PI双标记检测K562细胞的凋亡

收集PTL处理的K562细胞, PBS洗涤, 调整细胞为 1×10^6 个/mL, 加入FITC标记的Annexin V和PI, 室温避光染色, 流式细胞仪检测正常、早期凋亡

[收稿日期] 2009-03-12

[基金项目] 甘肃省自然科学基金项目(096RJZA034); 中草药物质基础与资源利用教育部重点实验室(北京协和医学院)开放课题(0801); 甘肃省新药临床前研究重点实验室(兰州大学)开放课题(GSKFKT-0802)

[通信作者] *魏虎来, Tel: (0931)8915082, Fax: (0931)8915082, E-mail: weihulai@lzu.edu.cn

[作者简介] 易娟, 助理研究员, E-mail: yij@lzu.edu.cn

和晚期凋亡细胞^[7]。

1.5 Annexin V 标记检测 CD34⁺CD38⁻ 细胞的凋亡 收集 PTL 处理的 K562 细胞, PBS 洗涤, 调整细胞为 1×10^6 个/mL, 加入 CD34-PEcy5 和 CD38-ECD, 室温避光孵育, PBS 洗涤, 重悬于结合缓冲液中, 再加入 FITC 标记的 Annexin V, 室温避光染色 15 min, 细胞重悬, FCM 检测 CD34⁺CD38⁻ 细胞中的凋亡(Annexin V⁺)细胞。以 PEcy5, ECD, FITC 标记的鼠抗人 IgG1 分别为同型对照, 检测重复 3 次。

1.6 LSC 相对含量检测 分别收集对照及 PTL 处理的 K562 细胞, 调整细胞为 1×10^6 个/mL, 每检测管均加入 CD34-PEcy5, CD38-FITC, CD123-PE, 室温避光孵育 20 min, PBS 洗涤, 重悬于 PBS 中, FCM 检测^[8]。以 PEcy5, PE, FITC 标记的鼠抗人 IgG1 为同型对照, 检测重复 3 次。

1.7 甲基纤维素半固体培养检测集落形成 取对数生长期的 K562 细胞, 按 1×10^3 个/mL 接种于含 20% 小牛血清、2 mmol·L⁻¹ L-谷氨酰胺、5 μmol·L⁻¹ β-巯基乙醇和 0.9% 甲基纤维素的半固体培养基。分别接种于 24 孔细胞培养板, 每孔分别加入终浓度为 0.5, 1, 2, 4 μmol·L⁻¹ 的 PTL, 每个浓度设 3 个复孔。37 °C 5% CO₂ 及饱和湿度条件下培养 10 d, 倒置显微镜下计数集落形成的数目并观察其形态, 以大于 40 个细胞的细胞团为 1 个集落^[8,9]。实验重复 3 次。K562 细胞经 5, 7.5, 10, 15 μmol·L⁻¹ PTL 预处理 48 h, 收集, 台盼蓝染色重新计数活细胞, 按 1×10^3 个/mL 接种于 0.9% 甲基纤维素半固体培养基培养 10 d。倒置显微镜下计数集落数和观察集落形态^[8,9]。

1.8 统计学分析 计量资料结果用 $\bar{x} \pm s$ 表示。采用 SPSS10.0 统计软件进行统计分析, 组间均数差异性采用 t 检验; 相关性分析采用直线回归。

2 结果

2.1 PTL 抑制 K562 细胞的增殖活性 PTL 呈浓度依赖性地抑制 K562 细胞增殖, 24, 48, 72 h 的 IC₅₀ 分别为 17.1, 8.67, 9.42 μmol·L⁻¹(图 1, $P < 0.01$)。

2.2 PTL 对 K562 细胞及其 LSC 样细胞的凋亡诱导效应 K562 细胞经 5, 10 μmol·L⁻¹ PTL 处理 48 h, Annexin V/PI 染色显示凋亡细胞明显增高, 细胞总凋亡率(早期凋亡率 + 晚期凋亡率)分别较对照细胞提高 107.8 倍和 156.3 倍, 细胞凋亡以早期凋亡为主(表 1, $P < 0.01$); 结合 CD34 和 CD38 免疫

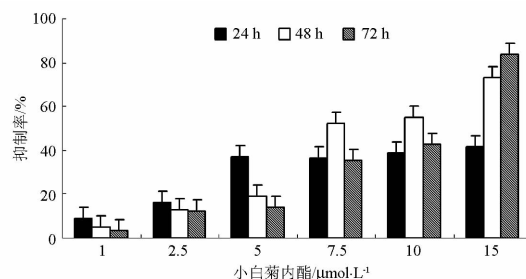


图 1 PTL 对 K562 细胞增殖的抑制作用

标记分析, K562 细胞中 LSC 样(CD34⁺CD38⁻)细胞群中的凋亡(Annexin V⁺)细胞分别增高 169.8 倍和 185.5 倍(表 1, $P < 0.01$)。提示 PTL 可诱导 K562 细胞及其白血病干细胞凋亡。

表 1 PTL 诱导后 K562 细胞及其干细胞的凋亡率($\bar{x} \pm s, n=3$)

PTL / $\mu\text{mol}\cdot\text{L}^{-1}$	K562 细胞 /%	CD34 ⁺ CD38 ⁻ 细胞 /%
0	0.46 ± 0.13	0.31 ± 0.27
5	49.56 ± 5.11 ¹⁾	52.63 ± 4.14 ¹⁾
10	71.88 ± 2.12 ¹⁾	57.50 ± 4.47 ¹⁾

注:与对照(0 $\mu\text{mol}\cdot\text{L}^{-1}$)比较¹⁾ $P < 0.01$ 。

2.3 PTL 对 K562 细胞中 CD34⁺CD38⁻CD123⁺ 细胞相对含量的影响 5, 10, 15 μmol·L⁻¹ PTL 作用 48 h 后, K562 细胞中 CD34⁺, CD123⁺, CD34⁺CD38⁻ 以及 CD34⁺CD38⁻CD123⁺ 细胞(LSC)的相对比例(含量)均不同程度地增高, 但增高的幅度并不显著; 高浓度(15 μmol·L⁻¹) PTL 处理后则显著增高(表 2, $P < 0.01$)。提示 PTL 对 K562 细胞群中的原始/幼稚细胞及白血病干/祖细胞均有杀伤效应, 但仍然无法根除 LSC, 部分 LSC 残留而使其相对含量提高。

2.4 PTL 抑制 K562 细胞的集落形成能力

0.5 ~ 4 μmol·L⁻¹ 的 PTL 直接作用可显著抑制 K562 细胞集落的形成, 集落形成率降低可达 89.16% (表 3, $P < 0.01$)。5 ~ 15 μmol·L⁻¹ PTL 预处理 48 h, 存活 K562 细胞的集落形成数则明显增高, 最高可达对照的 1.5 倍(表 3)。细胞集落较小、组成细胞数较少, 致密呈球形, 延长培养时间会进一步增大(图 2)。实验结果说明 PTL 对 K562 细胞中具有自我更新和高增殖潜能的细胞(LSC)具有较好的杀伤效应。

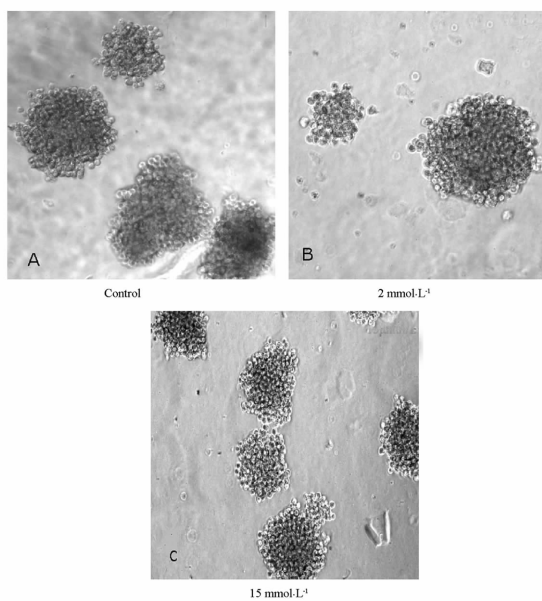
表2 PTL对K562细胞中LSC相对含量的影响($\bar{x} \pm s, n=3$)

PTL/ $\mu\text{mol} \cdot \text{L}^{-1}$	CD34 $^+$	CD123 $^+$	CD34 $^+$ CD123 $^+$	CD34 $^+$ CD38 $^-$	CD34 $^+$ CD38 $^-$ CD123 $^+$	%
0	4.37 \pm 0.61	4.57 \pm 1.12	2.33 \pm 0.15	3.93 \pm 0.67	1.40 \pm 0.26	
5	2.27 \pm 0.64 ¹⁾	4.43 \pm 1.09	1.43 \pm 0.21 ¹⁾	2.10 \pm 0.61 ¹⁾	1.27 \pm 0.15	
10	6.57 \pm 0.57 ¹⁾	2.63 \pm 0.87 ¹⁾	2.37 \pm 0.65	6.37 \pm 0.40 ¹⁾	1.53 \pm 0.31	
15	38.73 \pm 0.64 ²⁾	31.90 \pm 1.21 ²⁾	29.30 \pm 1.92 ²⁾	31.83 \pm 3.33 ²⁾	22.40 \pm 2.46 ²⁾	

注:与对照(0 $\mu\text{mol} \cdot \text{L}^{-1}$)比较¹⁾ $P < 0.05$,²⁾ $P < 0.01$ (表3同)。

表3 PTL对K562细胞集落形成的影响($\bar{x} \pm s, n=3$)

处理	浓度/ $\mu\text{mol} \cdot \text{L}^{-1}$	集落数/ $\times 10^3$
PTL 直接作用	0	27.67 \pm 2.52
	0.5	26.67 \pm 4.93
	1.0	21.00 \pm 3.00 ¹⁾
	2.0	13.33 \pm 1.53 ²⁾
	4.0	3.00 \pm 1.00 ²⁾
PTL 预处理	0	20.00 \pm 4.58
	5.0	20.00 \pm 7.09
	7.5	21.00 \pm 4.93
	10.0	25.00 \pm 4.00 ¹⁾
	15.0	30.00 \pm 9.07 ¹⁾



A. 对照; B. 2 $\mu\text{mol} \cdot \text{L}^{-1}$ PTL 直接作用;
C. 15 $\mu\text{mol} \cdot \text{L}^{-1}$ PTL 预处理。

图2 PTL作用后K562细胞的集落形态($\times 10$)

3 讨论

LSC生物学特性的深入研究证实LSC与白血病发生、复发和耐药性关系密切^[8]。传统的化疗药物只针对活跃在细胞周期中的白血病原始/幼稚细胞,而对处在细胞周期静止(G_0)期的LSC作用极其

有限。LSC特殊的生物学特性,可使其逃脱传统化疗药物或放射线的杀伤作用而存活下来,导致白血病的耐药性及复发^[1-3,5,8,10]。近年来国内外学者尝试寻找药物或措施来清除LSC,如ABC转运体的抑制剂、靶向LSC表面分子和其增殖分化信号传导通路调控分子的药物等,以期通过清除LSC来达到根除白血病的目的^[10-11]。

本研究证实,PTL不仅抑制K562细胞的增殖和诱导其凋亡,而且能较好地诱导K562细胞中LSC样(CD34 $^+$ CD38 $^-$)细胞凋亡。不同浓度PTL作用后,K562细胞中LSC(CD34 $^+$ CD38 $^-$ CD123 $^+$)的相对含量有所增高,证实PTL对K562细胞群中LSC及其分化了的白血病原始/幼稚细胞均具有杀伤效应,但分化成熟白血病细胞对PTL的敏感性要高于LSC,PTL无法彻底根除LSC,部分残存下来而使其相对含量有所增高。

甲基纤维素半固体集落形成(CFU)实验是体外检测细胞自我更新和增殖潜能的有效方法,短期培养出现的早期集落多由分化阶段较晚、增殖能力有限的细胞形成,而长期培养的晚期集落则主要由干/祖细胞形成,反映的是干细胞的自我更新能力和增殖潜能^[8,9]。本研究中0.5~4 $\mu\text{mol} \cdot \text{L}^{-1}$ 的PTL直接作用可显著抑制K562细胞集落的形成,而用5~15 $\mu\text{mol} \cdot \text{L}^{-1}$ 的PTL预处理,存活K562细胞的集落形成数则明显增高,这是由于PTL预处理清除了较敏感的分化成熟后白血病细胞,存活K562细胞中LSC相对数量增加而使集落形成数量增高。提示PTL可杀伤K562细胞中具有自我更新和高增殖潜能的LSC细胞群,但仍会有部分对PTL具有抗性的LSC残存下来。提示PTL对LSC具有较高水平的杀伤效应,但并不能完全清除。有关PTL对白血病干细胞的直接作用及其分子机制,有待分选、纯化LSC后进一步深入研究。

[参考文献]

- [1] Jordan C T. Cancer stem cell biology: From leukemia to solid

- tumors[J]. Curr Opin in Cell Biol, 2004, 16(6): 708.
- [2] Ravandi V, Estrov Z. Eradication of leukemia stem cells as a new goal of therapy in leukemia[J]. Clin Cancer Res, 2006, 12(2): 340.
- [3] de Figueiredo-Pontes L L, Pintao M C, Oliveira L C, et al. Determination of P-glycoprotein, MDR-related protein 1, breast cancer resistance protein, and lung-resistance protein expression in leukemic stem cells of acute myeloid leukemia[J]. Cytometry B Clin Cytom, 2008, 74(3): 163.
- [4] Knight D W. Feverfew: Chemistry and biological activity[J]. Nat Prod Rep, 1995, 12: 271.
- [5] Zhang S, Lin Z N, Yang C F, et al. Suppressed NF- κ B and sustained JNK activation contribute to the sensitization effect of parthenolide to TNF- α -induced apoptosis in human cancer cells[J]. Carcinogenesis, 2004, 25: 2191.
- [6] Wei H L, Su H X, Yao X J. Biological feature of human T-activated killer cells[J]. Chin J Cancer Res, 1999, 11(2): 111.
- [7] Wilkins R C, Kutzner B C, Truong M, et al. Analysis of radiation-induced apoptosis in human lymphocytes: Flow cytometry using Annexin V and propidium iodide versus the neutral comet assay[J]. Cytometry, 2002, 48(1): 14.
- [8] 易娟, 陈静, 孙静, 等. 白血病K562/ADM细胞耐药性与白血病干细胞及耐药蛋白表达的关系[J]. 中华医学杂志, 2009, 89(25): 1741.
- [9] Smyth M J, Krasovskis E, Sutton V R, et al. The drug efflux protein, P-glycoprotein, additionally protects drug-resistant tumor cells from multiple forms of caspase-dependent apoptosis [J]. Proc Natl Acad Sci, 1998, 95(12): 7024.
- [10] Eyler C E, Rich J N. Survival of the fittest: Cancer stem cells in therapeutic resistance and angiogenesis[J]. Clin Oncol, 2008, 26: 2839.
- [11] 储亮, 黄强, 董军, 等. 肿瘤干细胞的耐药性及其治疗策略[J]. 中国新药与临床杂志, 2006, 25(11): 868.

Effect of parthenolide on leukemia K562 cells and its leukemia stem cells

YI Juan¹, CHEN Jing¹, SUN Jing¹, WEI Hulai^{1*}, SHI Jiangong²

(1. Laboratory Center for Medical Science, School of Medicine, Lanzhou University,

Key Laboratory of Preclinical Study for New Drugs of Gansu Province, Lanzhou 73000, China;

2. Peking Union Medical College, Beijing 100005, China)

[Abstract] **Objective:** To investigate the inhibitory and apoptosis-inducing effects of parthenolide (PTL) on human leukemia K562 cells and its leukemia stem cells (LSC). **Method:** MTT assay was used to detect the proliferating activity of K562 cells, and the cellular apoptosis was assayed with Annexin V/PI double staining. Flow cytometry (FCM) was employed to determine the relative proportion of LSC in K562 cells. The self-renewal and proliferating potential were examined with methylcellulose colony-forming units (CFU) assay. **Result:** By use of MTT assay, we found PTL had significant inhibitory effect on the proliferation of K562 cells, the 50% inhibitory concentration (IC_{50}) values were $17.1, 8.67, 9.42 \mu\text{mol} \cdot \text{L}^{-1}$ for 24, 48 and 72 h, respectively. After administration with $5 \mu\text{mol} \cdot \text{L}^{-1}$ and $10 \mu\text{mol} \cdot \text{L}^{-1}$ PTL, the apoptotic rate of K562 cells was $(49.56 \pm 5.11)\%$ and $(71.88 \pm 2.12)\%$, and $(52.63 \pm 4.14)\%$ and $(57.50 \pm 4.47)\%$ in LSC-like ($CD34^+ CD38^-$) cells in K562 cell population, respectively. A slightly increase of relative content of LSC in K562 cells was observed. There was an 15-fold increase in the higher concentration of the PTL-treated cells. The methylcellulose colony-forming units assay showed a 24.1% to 89.2% decrease in the CFU of K562 cells administrated with $0.5 \mu\text{mol} \cdot \text{L}^{-1}$ to $4.0 \mu\text{mol} \cdot \text{L}^{-1}$ PTL, and the CFU of the surviving cells increased by 5.0% to 50.0% on condition that K562 cells were pre-treated with $5 \mu\text{mol} \cdot \text{L}^{-1}$ to $15 \mu\text{mol} \cdot \text{L}^{-1}$ PTL for 48 h. **Conclusion:** PTL eminently inhibits proliferation of K562 cells and LSC in K562 cells, and induces the cell apoptosis.

[Key words] leukemia stem cells; parthenolide; colony formation; apoptosis

doi: 10.4268/cjcm20100223

[责任编辑 张宁宁]